



NetWorks Sp. z o.o.  
Laboratorium Badań Środowiskowych  
ul. Józefa Piusa Dziekońskiego 3  
00-728 Warszawa  
e-mail: [Laboratorium@networks.pl](mailto:Laboratorium@networks.pl)



AB 419

S P R A W O Z D A N I E 4560/2024/OS  
Z POMIARÓW PÓL ELEKTROMAGNETYCZNYCH  
WYKONANYCH DLA POTRZEB OCHRONY ŚRODOWISKA

Badany obiekt: Instalacja radiokomunikacyjna T-Mobile Polska S.A.  
Numer i nazwa: 32709 (42709N!) GKO\_MANOWO\_WYSZEWO  
Adres: KLISZNO DZ.383/2, Powiat koszaliński, WOJ. ZACHODNIOPOMORSKIE

Data wykonania pomiarów: 2024-08-12

Sprawozdanie z badań bez pisemnej zgody laboratorium nie może być powielane inaczej niż w całości.  
Wynik przedstawione w niniejszym sprawozdaniu odnoszą się wyłącznie do badanego obiektu i do warunków i konfiguracji urządzeń w dniu wykonywania pomiarów.

**1. Właściciel badanego obiektu:**

T-Mobile Polska S.A., ul. Marynarska 12, 02-674 Warszawa

**2. Zleceniodawca:**

T-Mobile Polska S.A., ul. Marynarska 12, 02-674 Warszawa

**3. Przedstawiciel zleceniodawcy:**

NetWorks Sp. z o.o.

**4. Zakres zlecenia:**

Wykonanie badania i opracowanie sprawozdania z pomiarów natężenia pola elektrycznego i pola magnetycznego dla instalacji radiokomunikacyjnej T-Mobile Polska S.A. zlokalizowanej w miejscowości KLISZNO DZ.383/2.

**5. Cel zlecenia:**

Wykonanie pomiarów pól elektromagnetycznych w otoczeniu instalacji radiokomunikacyjnej 32709 (42709N!) GKO\_MANOWO\_WYSZEWO w odniesieniu do wymagań określonych w *Rozporządzeniu Ministra Klimatu z dnia 17 lutego 2020 r. w sprawie sposobów sprawdzania dotrzymania dopuszczalnych poziomów pól elektromagnetycznych w środowisku (Dz.U. 2022 poz. 2630)*.

**6. Pomiary zostały wykonane przez:**

Żebrowski Mateusz  
Pacyński Wilkan

**7. Informacje o źródłach pól elektromagnetycznych**

**7.1. Sposób identyfikacji badanych źródeł pól elektromagnetycznych**

Identyfikacji źródeł i parametrów technicznych dokonano na podstawie analizy dokumentacji dotyczącej zlecenia oraz obserwacji miejsca wykonywania badań.

**7.2. Opis miejsca zainstalowania anten i urządzeń technicznych. Opis obiektu badań i jego otoczenia**

Instalacja radiokomunikacyjna zlokalizowana jest na terenie ogrodzonym. Anteny zawieszono na wieży strunobetonowej. Urządzenia sterujące oraz zasilające zainstalowano w kontenerze u podstawy wieży. Wokół instalacji znajdują się tereny rolnicze.

Instalacja radiokomunikacyjna jest obiektem bezobsługowym. Okresowe stanowiska pracy związane są z prowadzonymi w zależności od potrzeb konserwacjami, przeglądami, strojeniem i naprawami.

### 7.3. Parametry techniczne źródła pola elektromagnetycznego

Dane przedstawiające maksymalne parametry pracy instalacji przekazane przez zleceniodawcę:

Parametry systemu nadawczo-odbiorczego:

Charakterystyka promieniowania		kierunkowa					
Rzeczywisty czas pracy [h/dobę]		24					
Warunki pracy		znamionowe					
Rodzaj wytwarzanego pola		stacjonarne					
Lp.	Częstotliwość lub zakresy częstotliwości pracy [MHz]	Typ/producent anteny	liczba anten	Azymut [°]	kąt pochylenia [°]	Wysokość środka elektrycznego anteny [m n.p.t.]	Równoważna moc promieniowana izotropowo (EIRP) [W]
1	800/900	ADU451723 Huawei	1	110	0-8**/0-8**	61	8166
2	1800	ADU4518R6v06 Huawei	1	110	0-8**	61	3819
3	800/900	ADU4517R0v01 Huawei	1	240	0-8**/0-8**	61	8166
4	1800	ADU4518R6v06 Huawei	1	240	0-8**	61	3819
5	800/900	ADU4517R0v01 Huawei	1	340	0-8**/0-8**	61	8166
6	1800	ADU4518R6v06 Huawei	1	340	0-8**	61	3819

\* wskazane wartości kąta pochylenia anten, zgodnie z informacją uzyskaną od zleceniodawcy, są wartościami stałymi

\*\* pomiary wykonano zgodnie z pkt 13., ppkt 2 załącznika do Rozporządzenia Ministra Klimatu z dnia 17 lutego 2020 r. (Dz. U. 2022, poz. 2630).

Parametry radiolinii:

Charakterystyka promieniowania		kierunkowa					
Rzeczywisty czas pracy [h/dobę]		24					
Warunki pracy		znamionowe					
Rodzaj wytwarzanego pola		stacjonarne					
Lp.	Linia radiowa			Antena			
	Typ/ Producent	Częstotliwość pracy [GHz]	Równoważna moc promieniowana izotropowo (EIRP) [W]	Typ/ producent	Średnica anteny [m]	Azymut [°]	Wysokość zainstalowania n.p.t [m]
1.	NP ERICSSON RAU2X 23GHZ 56MHz Ericsson	23	5012	ANT2_1.2 23 HP Ericsson	1.2	103	58.2
2.	NP ERICSSON RAU2X 23GHZ 2x56MHz XPIC Ericsson	23	1825	ANT2/2_0.6 23/80 HPX/HP Ericsson	0.6	133	57.8
3.	NP ERICSSON ML 6363 23GHZ 28MHz / NP ERICSSON ML 6352 R2+ 70/80GHz 250MHz Ericsson	23/80	576/5371	ANT2/2_0.6 23/80 HP/HP Ericsson	0.6	313	58.6

### 7.4 Inne źródła pól elektromagnetycznych

Na podstawie informacji otrzymanych od użytkownika oraz obserwacji otoczenia miejsca wykonywania pomiarów stwierdzono występowanie innych źródeł pola-EM, pracujących w systemie: telefonii komórkowej (800MHz-2600MHz), linii radiowych (5GHz – 90GHz), które istotnie wpływają na wyniki pomiarów.

Sprawozdanie z badań bez pisemnej zgody laboratorium nie może być powielane inaczej niż w całości.

Wynik przedstawione w niniejszym sprawozdaniu odnoszą się wyłącznie do badanego obiektu i do warunków i konfiguracji urządzeń w dniu wykonywania pomiarów.

## 8. Opis pomiarów

### 8.1. Metoda badań

Zgodna z rozporządzeniem Ministra Klimatu z dnia 17 lutego 2020 r. w sprawie sposobów sprawdzania dotrzymania dopuszczalnych poziomów pól elektromagnetycznych w środowisku (Dz.U. 2022 poz. 2630), określona w pkt 25 ppkt 1 załącznika do niniejszego rozporządzenia.

### 8.2. Termin pomiarów i warunki środowiskowe

Podczas wykonywania pomiarów pól elektromagnetycznych nie występowały opady atmosferyczne. Wyniki pomiaru parametrów pogodowych przedstawia poniższa tabela:

Data [rrrr-mm-dd]	Godzina [hh:mm-hh:mm]	Warunki środowiskowe			
		Temperatura [°C]		Wilgotność względna [%]	
2024-08-12	11:00-12:20	Przed pomiarem	Po pomiarach	Przed pomiarem	Po pomiarach
		19.5	20.3	63.2	62.8

Przedstawione wyżej warunki środowiskowe, występujące podczas wykonywania pomiarów pól elektromagnetycznych, są zgodne ze specyfikacją techniczną użytego zestawu pomiarowego.

### 8.3. Warunki pracy urządzeń nadawczych

Podczas pomiarów w przypadku uzyskania wyniku pomiaru szerokopasmowego wykonanego zastosowaną metodą, dla zakresów częstotliwości od 10 MHz do 300 GHz, powiększonego o rozszerzoną niepewność pomiaru  $U$  dla współczynnika rozszerzenia  $k = 2$  przekraczającego 70% najniższej dopuszczalnej wartości składowej elektrycznej lub magnetycznej pola dla objętych pomiarami zakresów częstotliwości, uwzględnia się poprawki pomiarowe przekazane przez zleceniodawcę, umożliwiające uwzględnienie maksymalnych parametrów pracy instalacji zgodnie z pkt 7 załącznika do Rozporządzeniem Ministra Klimatu z dnia 17 lutego 2020 r. w sprawie sposobów sprawdzania dotrzymania dopuszczalnych poziomów pól elektromagnetycznych w środowisku (Dz. U. 2022, poz. 2630) zaznaczając, że wymagane jest wykonanie pomiaru z wykorzystaniem miernika selektywnego. W przypadku uzyskania wyniku pomiaru szerokopasmowego wykonanego zastosowaną metodą, dla zakresów częstotliwości od 10 MHz do 300 GHz, powiększonego o rozszerzoną niepewność pomiaru  $U$  dla współczynnika rozszerzenia  $k = 2$  nieprzekraczającego 70% najniższej dopuszczalnej wartości składowej elektrycznej lub magnetycznej pola dla objętych pomiarami zakresów częstotliwości, nie uwzględnia się poprawek pomiarowych.

### 8.4. Wyposażenie pomiarowe

Zestaw pomiarowy służący do pomiaru natężenia składowej elektrycznej pola elektromagnetycznego złożony z szerokopasmowego miernika i sondy pomiarowej:

Oznaczenie miernika	Producent	Model	Numer fabryczny	Oznaczenie sondy	Producent	Model	Numer fabryczny
MW-01	Wavecontrol	Miernik pól elektromagnetycznych SMP2	22SN1956	SW-01	Wavecontrol	Sonda WPF60	22WP230196

Mierniki natężenia pola elektromagnetycznego podlegają okresowemu sprawdzeniu zgodnie z procedurą wewnętrzną P-03 i PB-01. Świadczenie wzorcowania zestawu pomiarowego z dnia 10 maja 2023 o numerze LWiMP/W/173/23 wydane przez Politechnika Wrocławską.  
Data ważności świadectwa wzorcowania: 10 maja 2025 (zgodnie z procedurą wewnętrzną P-03).

Oznaczenie miernika	Producent	Model	Numer fabryczny	Oznaczenie sondy	Producent	Model	Numer fabryczny
MW-01	Wavecontrol	Miernik pól elektromagnetycznych SMP2	22SN1956	SW-02	Wavecontrol	Sonda WPF3-HP	22WP030433

Mierniki natężenia pola elektromagnetycznego podlegają okresowemu sprawdzeniu zgodnie z procedurą wewnętrzną P-03 i PB-01. Świadczenie wzorcowania zestawu pomiarowego z dnia 3 czerwca 2024 o numerze LWiMP/W/201/24 wydane przez Politechnika Wrocławską.  
Data ważności świadectwa wzorcowania: 3 czerwca 2026 (zgodnie z procedurą wewnętrzną P-03).

Sprawozdanie z badań bez pisemnej zgody laboratorium nie może być powielane inaczej niż w całości.  
Wynik przedstawione w niniejszym sprawozdaniu odnoszą się wyłącznie do badanego obiektu i do warunków i konfiguracji urządzeń w dniu wykonywania pomiarów.

Termohigrometr:

Oznaczenie:	TH-07	Producent:	AZ INSTRUMENT CORP	Model:	Termohigrometr AZ8706
-------------	-------	------------	--------------------	--------	-----------------------

Data ważności świadectwa wzorcowania: 3 stycznia 2025 (zgodnie z procedurą wewnętrzną P-03).

Dalmierz:

Oznaczenie	Producent	Typ	Numer seryjny	Nr świadectwa wzorcowania	Data świadectwa wzorcowania
D-04	Leica	Dalmierz Leica Disto X310	843810404	1146.1-M11-4180-396/15	8 kwietnia 2015

Data ważności świadectwa wzorcowania: 8 kwietnia 2025 (zgodnie z procedurą wewnętrzną P-03).

Odbiornik GNSS:

Odbiornik GNSS wbudowany w miernik natężenia pola elektromagnetycznego użyty podczas pomiarów	Producent	Model
	UBlox	MAX-M8Q

Odbiorniki podlegają okresowemu sprawdzeniu zgodnie z procedurą wewnętrzną P-03.

## 9. Wyniki pomiarów

### Pole elektryczne

Nr pionu	Opis umiejscowienia pionu (punktu) pomiarowego	Wysokość pomiaru [m]	Zmierzona wartość natężenia pola elektrycznego E [V/m] <sup>1,5</sup>			Wartość natężenia pola elektrycznego powiększona o niepewność pomiaru <sup>4</sup> E [V/m]	Wskaźnikowa wartość poziomu emisji pól elektromagnetycznych WME <sup>3</sup>	Współrzędne geograficzne pionu (punktu) pomiarowego <sup>2</sup>
			Sonda SW-01	Sonda SW-02	SUMA			
1	GKP w odległości 8m od anteny sektorowej az. 240°	0.3-2.0	<1.0*	<1.0*	<1.0*	1.3	0.05	54°5'22.2" 16°22'9.1"
2	GKP w odległości 12m od anteny sektorowej az. 110° oraz anteny radioliniowej az. 103°	0.3-2.0	<1.0*	<1.0*	<1.0*	1.3	0.05	54°5'22.2" 16°22'10.2"
3	GKP w odległości 36m od anteny sektorowej az. 110°	0.3-2.0	<1.0*	<1.0*	<1.0*	1.3	0.05	54°5'21.8" 16°22'11.3"
4	GKP w odległości 66m od anteny sektorowej az. 110°	0.3-2.0	<1.0*	<1.0*	<1.0*	1.3	0.05	54°5'21.5" 16°22'13.1"
5	GKP w odległości 14m od anteny sektorowej az. 340°	0.3-2.0	<1.0*	<1.0*	<1.0*	1.3	0.05	54°5'22.9" 16°22'9.1"
6	GKP w odległości 34m od anteny sektorowej az. 340°	0.3-2.0	<1.0*	<1.0*	<1.0*	1.3	0.05	54°5'23.6" 16°22'8.8"
7	GKP w odległości 61m od anteny sektorowej az. 340°	0.3-2.0	<1.0*	<1.0*	<1.0*	1.3	0.05	54°5'24.4" 16°22'8.4"
8	GKP w odległości 13m od anteny radioliniowej az. 313°	0.3-2.0	<1.0*	<1.0*	<1.0*	1.3	0.05	54°5'22.6" 16°22'8.8"
9	GKP w odległości 43m od anteny radioliniowej az. 313°	0.3-2.0	<1.0*	<1.0*	<1.0*	1.3	0.05	54°5'23.3" 16°22'7.7"
10	GKP w odległości 17m od anteny	0.3-2.0	<1.0*	<1.0*	<1.0*	1.3	0.05	54°5'21.8" 16°22'10.2"

Sprawozdanie z badań bez pisemnej zgody laboratorium nie może być powielane inaczej niż w całości.  
 Wynik przedstawione w niniejszym sprawozdaniu odnoszą się wyłącznie do badanego obiektu i do warunków i konfiguracji urządzeń w dniu wykonywania pomiarów.

	radioliniowej az. 133°							
11	GKP w odległości 46m od anteny radioliniowej az. 133°	0.3-2.0	<1.0*	<1.0*	<1.0*	1.3	0.05	54°5'21.5" 16°22'11.3"
12	GKP w odległości 66m od anteny radioliniowej az. 103°	0.3-2.0	<1.0*	<1.0*	<1.0*	1.3	0.05	54°5'21.8" 16°22'13.1"
13	PKP na az. 174° w odległości 34m od anteny sektorowej az. 240°	0.3-2.0	<1.0*	<1.0*	<1.0*	1.3	0.05	54°5'21.1" 16°22'9.5"
14	PKP na az. 47° w odległości 26m od anteny sektorowej az. 110°	0.3-2.0	<1.0*	<1.0*	<1.0*	1.3	0.05	54°5'22.9" 16°22'10.6"
15	PKP na az. 324° w odległości 61m od anteny sektorowej az. 340°	0.3-2.0	<1.0*	<1.0*	<1.0*	1.3	0.05	54°5'24.0" 16°22'7.3"
-	GKP w odległości 498m od anteny sektorowej az. 240°	0.3-2.0	<1.0*	<1.0*	<1.0*	1.3	0.05	54°5'14.3" 16°21'45.7"
-	GKP w odległości 815m od anteny sektorowej az. 110°	0.3-2.0	<1.0*	<1.0*	<1.0*	1.3	0.05	54°5'13.2" 16°22'52.0"
-	GKP w odległości 703m od anteny sektorowej az. 340°	0.3-2.0	<1.0*	<1.0*	<1.0*	1.3	0.05	54°5'43.8" 16°21'56.2"

Pole magnetyczne (wyznaczone na podstawie pomiaru wartości natężenia pola elektrycznego)

Nr pionu	Opis umiejscowienia pionu (punktu pomiarowego)	Wysokość pomiaru [m]	Wartość natężenia pola magnetycznego H [A/m] <sup>1</sup>			Wartość natężenia pola magnetycznego powiększona o niepewność pomiaru <sup>4</sup> H [A/m]	Wskaźnikowa wartość poziomu emisji pól elektromagnetycznych WM <sub>H</sub> <sup>3</sup>	Współrzędne geograficzne pionu (punktu pomiarowego) <sup>2</sup>
			Sonda SW-01	Sonda SW-02	SUMA			
1	GKP w odległości 8m od anteny sektorowej az. 240°	0.3-2.0	<0.003*	<0.003*	<0.003*	0.003	0.05	54°5'22.2" 16°22'9.1"
2	GKP w odległości 12m od anteny sektorowej az. 110° oraz anteny radioliniowej az. 103°	0.3-2.0	<0.003*	<0.003*	<0.003*	0.003	0.05	54°5'22.2" 16°22'10.2"
3	GKP w odległości 36m od anteny sektorowej az. 110°	0.3-2.0	<0.003*	<0.003*	<0.003*	0.003	0.05	54°5'21.8" 16°22'11.3"
4	GKP w odległości 66m od anteny sektorowej az. 110°	0.3-2.0	<0.003*	<0.003*	<0.003*	0.003	0.05	54°5'21.5" 16°22'13.1"
5	GKP w odległości 14m od anteny sektorowej az. 340°	0.3-2.0	<0.003*	<0.003*	<0.003*	0.003	0.05	54°5'22.9" 16°22'9.1"

Sprawozdanie z badań bez pisemnej zgody laboratorium nie może być powielane inaczej niż w całości.  
 Wynik przedstawione w niniejszym sprawozdaniu odnoszą się wyłącznie do badanego obiektu i do warunków i konfiguracji urządzeń w dniu wykonywania pomiarów.

6	GKP w odległości 34m od anteny sektorowej az. 340°	0.3-2.0	<0.003*	<0.003*	<0.003*	0.003	0.05	54°5'23.6" 16°22'8.8"
7	GKP w odległości 61m od anteny sektorowej az. 340°	0.3-2.0	<0.003*	<0.003*	<0.003*	0.003	0.05	54°5'24.4" 16°22'8.4"
8	GKP w odległości 13m od anteny radioliniowej az. 313°	0.3-2.0	<0.003*	<0.003*	<0.003*	0.003	0.05	54°5'22.6" 16°22'8.8"
9	GKP w odległości 43m od anteny radioliniowej az. 313°	0.3-2.0	<0.003*	<0.003*	<0.003*	0.003	0.05	54°5'23.3" 16°22'7.7"
10	GKP w odległości 17m od anteny radioliniowej az. 133°	0.3-2.0	<0.003*	<0.003*	<0.003*	0.003	0.05	54°5'21.8" 16°22'10.2"
11	GKP w odległości 46m od anteny radioliniowej az. 133°	0.3-2.0	<0.003*	<0.003*	<0.003*	0.003	0.05	54°5'21.5" 16°22'11.3"
12	GKP w odległości 66m od anteny radioliniowej az. 103°	0.3-2.0	<0.003*	<0.003*	<0.003*	0.003	0.05	54°5'21.8" 16°22'13.1"
13	PKP na az. 174° w odległości 34m od anteny sektorowej az. 240°	0.3-2.0	<0.003*	<0.003*	<0.003*	0.003	0.05	54°5'21.1" 16°22'9.5"
14	PKP na az. 47° w odległości 26m od anteny sektorowej az. 110°	0.3-2.0	<0.003*	<0.003*	<0.003*	0.003	0.05	54°5'22.9" 16°22'10.6"
15	PKP na az. 324° w odległości 61m od anteny sektorowej az. 340°	0.3-2.0	<0.003*	<0.003*	<0.003*	0.003	0.05	54°5'24.0" 16°22'7.3"
-	GKP w odległości 498m od anteny sektorowej az. 240°	0.3-2.0	<0.003*	<0.003*	<0.003*	0.003	0.05	54°5'14.3" 16°21'45.7"
-	GKP w odległości 815m od anteny sektorowej az. 110°	0.3-2.0	<0.003*	<0.003*	<0.003*	0.003	0.05	54°5'13.2" 16°22'52.0"
-	GKP w odległości 703m od anteny sektorowej az. 340°	0.3-2.0	<0.003*	<0.003*	<0.003*	0.003	0.05	54°5'43.8" 16°21'56.2"

GKP – Główny Kierunek Pomiarowy

PKP – Pomocniczy Kierunek Pomiarowy

<sup>1</sup> wyniki oznaczone \* są wynikami poniżej czułości zestawu pomiarowego i są wynikami spoza zakresu akredytacji. Do obliczenia wyniku skorygowanego przyjęto wartość skorelowaną z rzeczywistym wynikiem pomiaru - dolną granicę akredytowanego zakresu pomiarowego metody

Sprawozdanie z badań bez pisemnej zgody laboratorium nie może być powielane inaczej niż w całości.

Wynik przedstawione w niniejszym sprawozdaniu odnoszą się wyłącznie do badanego obiektu i do warunków i konfiguracji urządzeń w dniu wykonywania pomiarów.

<sup>2</sup> współrzędne geograficzne pozyskane metodą pomiaru bezpośredniego

<sup>3</sup> do wyznaczenia wartości wskaźnikowej  $W_{ME}$  i  $W_{MH}$  przyjęto na podstawie uzgodnień z klientem oraz rozpoznania źródeł, jako wartości dopuszczalne pola elektrycznego i magnetycznego odpowiednio 28 V/m i 0,073 A/m.

<sup>4</sup> do wyznaczenia niepewności dla wyników poniżej czułości zestawu pomiarowego, przyjęto niepewność dla minimalnej wartości z zakresu pomiarowego.

<sup>5</sup> maksymalna wartość chwilowa

Niepewność oszacowano zgodnie z dokumentem P-03 „Procedura nadzoru nad wyposażeniem” w postaci niepewności rozszerzonej wynikającej z niepewności standardowej pomnożonej przez współczynnik rozszerzenia  $k=2$ .

Całkowita szacowana niepewność rozszerzona składowej E wynosi odpowiednio:

sonda SW-01: 31.6% dla częstotliwości do 4 GHz, sonda SW-02: 30.8% dla częstotliwości do 4 GHz

Umiejscowienie pionów (punktów) pomiarowych przedstawiono w załączniku nr 2 do niniejszego sprawozdania.

## 10. Omówienie wyników pomiarów

W związku z tym, że żadna z wartości zmierzonych, udokumentowanych w tabelach w pkt. 9, uzyskanych w skutek zastosowania pomiaru szerokopasmowego, powiększonego o rozszerzoną niepewność pomiaru U dla współczynnika rozszerzenia  $k = 2$  nie przekroczyła 70% najniższej dopuszczalnej wartości składowej elektrycznej lub magnetycznej pola dla objętych pomiarami zakresów częstotliwości, nie uwzględnia się poprawek pomiarowych.

W wyniku zastosowania sposobu sprawdzenia dotrzymania dopuszczalnych poziomów pól elektromagnetycznych w środowisku, zgodnie pkt 25 ppkt 1 Rozporządzenia Ministra Klimatu z dnia 17 lutego 2020 r. (Dz. U. 2022, poz. 2630), w związku z tym, że żadna z wartości wskaźnikowych, udokumentowanych w tabelach w pkt. 9 nie przekracza wartości 1, stwierdza się, że w miejscach, w których wykonano pomiary w otoczeniu instalacji radiokomunikacyjnej 32709 (42709N!) GKO\_MANOWO\_WYSZEWO, dopuszczalne poziomy pól elektromagnetycznych w środowisku należy uznać za dotrzymane.

Miejsca niedostępne podczas wykonywania pomiarów wskazane zostały w pkt. 9 (Wyniki pomiarów) lub na załączniku przedstawiającym usytuowanie pionów pomiarowych.

## 11. Podstawa prawna

- 1) Ustawa z dnia 27 kwietnia 2001 r. Prawo ochrony środowiska (Dz.U. 2024 poz. 54)
- 2) Rozporządzenie Ministra Zdrowia z dnia 17 grudnia 2019 r. w sprawie dopuszczalnych poziomów pól elektromagnetycznych w środowisku (Dz. U. 2019, poz. 2448)
- 3) Rozporządzenie Ministra Klimatu z dnia 17 lutego 2020 r. w sprawie sposobów sprawdzania dotrzymania dopuszczalnych poziomów pól elektromagnetycznych w środowisku (Dz. U. 2022, poz. 2630),
- 4) Akredytacja nr AB 419 wydana przez Polskie Centrum Akredytacji (wydanie 22, z dnia 9 stycznia 2024 r.)

## 12. Spis załączników

Załącznik 1. Lokalizacja obiektu badań

Załącznik 2. Usytuowanie pionów (punktów) pomiarowych

Załącznik 3. Dokumentacja fotograficzna obiektu badań

## 13. Data wydania i autoryzowania sprawozdania

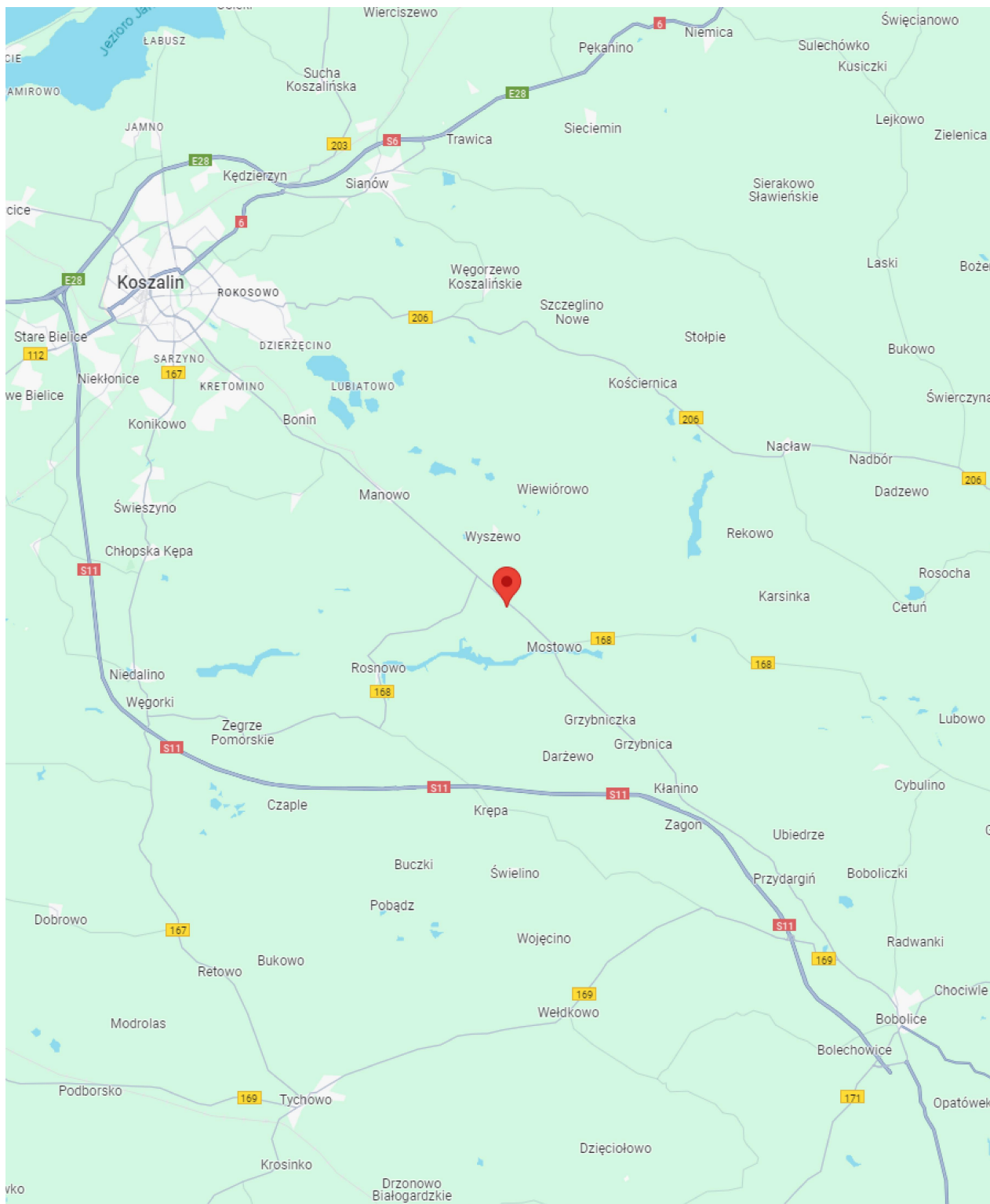
Obliczenia i sprawozdanie wykonał :

Sprawozdanie autoryzował:

**Koniec sprawozdania**

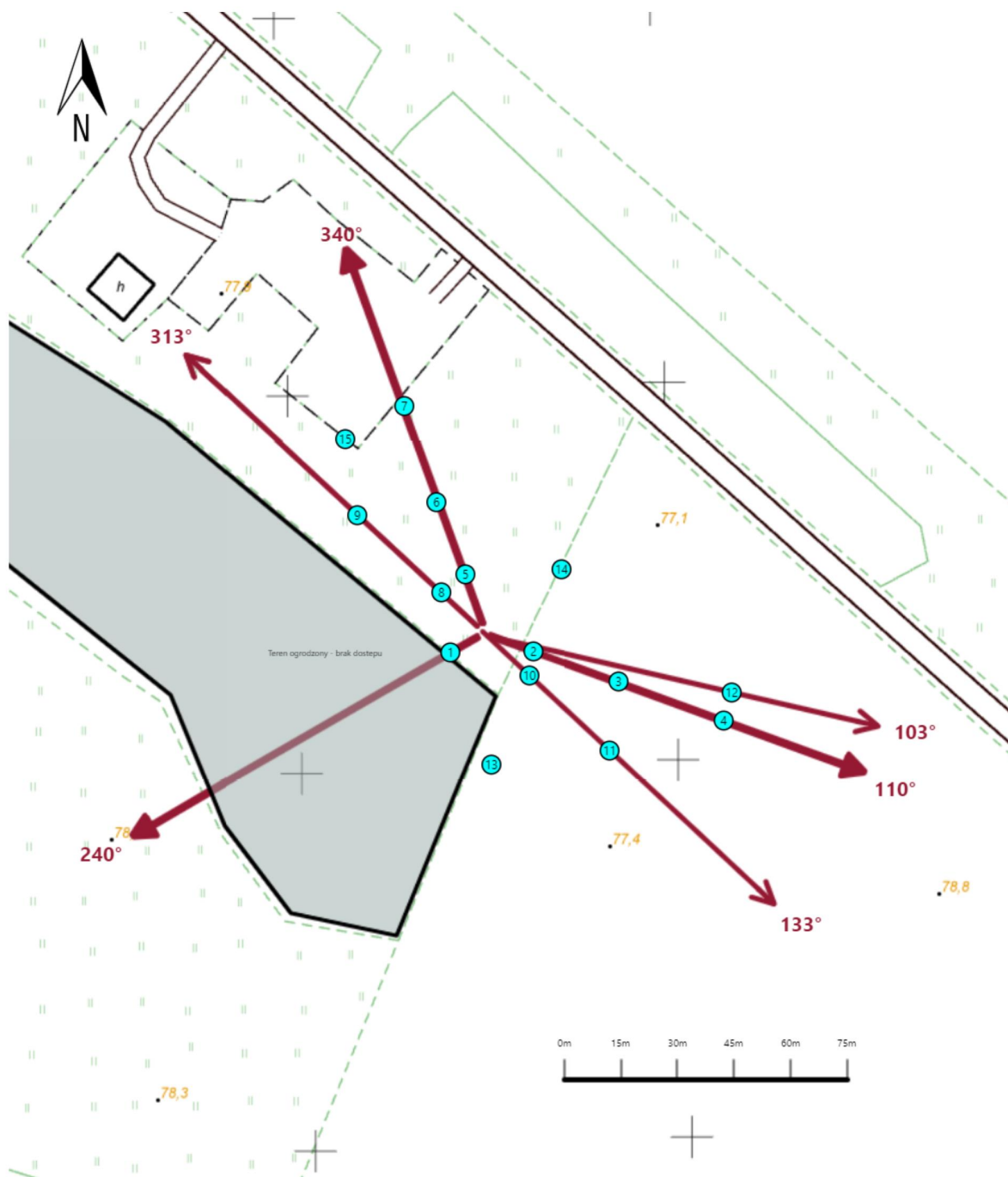
Sprawozdanie z badań bez pisemnej zgody laboratorium nie może być powielane inaczej niż w całości.  
Wynik przedstawione w niniejszym sprawozdaniu odnoszą się wyłącznie do badanego obiektu i do warunków i konfiguracji urządzeń w dniu wykonywania pomiarów.





<b>Załącznik nr 1</b>	<p style="text-align: center;"><b>Instalacja radiokomunikacyjna T-Mobile Polska S.A.</b> <b>32709 (42709N!) GKO_MANOWO_WYSZEWO</b></p> <p style="text-align: center;"><b>Lokalizacja instalacji radiokomunikacyjnej</b></p>
-----------------------	---

Sprawozdanie z badań bez pisemnej zgody laboratorium nie może być powielane inaczej niż w całości.  
Wynik przedstawione w niniejszym sprawozdaniu odnoszą się wyłącznie do badanego obiektu i do warunków i konfiguracji urządzeń w dniu wykonywania pomiarów.



<p>Załącznik nr 2</p>	<p style="text-align: center;">Instalacja radiokomunikacyjna T-Mobile Polska S.A.                  GKO_MANOWO_WYSZEWO (42709N!)</p> <p style="text-align: center;">Usytuowanie pionów pomiarowych w otoczeniu instalacji radiokomunikacyjnej</p>
<p>Legenda:</p>	<p style="text-align: center;"> <span style="display: inline-block; border: 1px solid blue; width: 15px; height: 15px; margin-right: 5px;"></span> Brak dostępu                 <span style="display: inline-block; border: 1px solid blue; border-radius: 50%; width: 15px; height: 15px; margin-left: 20px; margin-right: 5px; text-align: center; line-height: 15px;">X</span> Pion pomiarowy                 <span style="display: inline-block; border-bottom: 1px solid red; width: 20px; margin-left: 20px; margin-right: 5px;"></span> Kierunek oddziaływania anten sektorowych                 <span style="display: inline-block; border-bottom: 1px solid red; width: 20px; margin-left: 20px; margin-right: 5px;"></span> Kierunek oddziaływania anten radioliniowych             </p>

Sprawozdanie z badań bez pisemnej zgody laboratorium nie może być powielane inaczej niż w całości.  
 Wynik przedstawione w niniejszym sprawozdaniu odnoszą się wyłącznie do badanego obiektu i do warunków i konfiguracji urządzeń w dniu wykonywania pomiarów.



Załącznik nr 3	<p>Instalacja radiokomunikacyjna T-Mobile Polska S.A. 32709 (42709NI) GKO_MANOWO_WYSZEWO</p> <p>Dokumentacja fotograficzna</p>
----------------	--

Sprawozdanie z badań bez pisemnej zgody laboratorium nie może być powielane inaczej niż w całości.  
Wynik przedstawione w niniejszym sprawozdaniu odnoszą się wyłącznie do badanego obiektu i do warunków i konfiguracji urządzeń w dniu wykonywania pomiarów.